

## بررسی شاخص بخزدگی-آب‌شدگی مصالح شن و ماسه در محیط‌های مختلف در منطقه دیره در استان کرمانشاه

کاظم پهرامی<sup>۱</sup>، سید محمود فاطمی عقدا<sup>(۲)</sup><sup>\*</sup>، علی نورزاد<sup>۳</sup> و مهدی تلخابلو<sup>۴</sup>

۱. دکتری زمین‌شناسی مهندسی، گروه زمین‌شناسی کاربردی، دانشکده علوم زمین، دانشگاه خوارزمی
۲. استاد زمین‌شناسی مهندسی، گروه زمین‌شناسی کاربردی، دانشکده علوم زمین، دانشگاه خوارزمی
۳. دانشیار گروه مهندسی ژئوتکنیک و حمل و نقل، دانشکده مهندسی عمران، آب و محیط‌زیست، دانشگاه شهید بهشتی
۴. استادیار، گروه زمین‌شناسی کاربردی، دانشکده علوم زمین، دانشگاه خوارزمی

تاریخ دریافت: ۹۸/۰۱/۲۱

تاریخ پذیرش: ۹۸/۰۴/۱۹

### چکیده

با توجه به تأثیری که محیط‌های زمین‌شناسی تجمع سنگ‌دانه‌های طبیعی می‌تواند در میزان افت وزنی ناشی از بخزدگی-آب‌شدگی سنگ‌دانه‌ها داشته باشد، در این پژوهش، ارتباط محیط‌های زمین‌شناسی و میزان افت وزنی سنگ‌دانه‌ها مورد بررسی قرار گرفته است. محل‌های نمونه‌برداری شامل دو واریزه، ۱۲ مخروطافکنه و سه بستر رودخانه‌ای بوده و از هر محل دو نمونه برداشته شده است. لیتوولوژی حوضه بالادست برای همه نمونه‌ها یکسان و شامل آهک آسماری است.

نمونه‌های برداشت شده به آزمایشگاه منتقل و میزان افت وزنی ناشی از بخزدگی-آب‌شدگی مطابق با استاندارد TEX-432-A به دست آمد. همچنین درصد سنگ‌دانه‌های دارای درزه از طریق بررسی‌های چشمی اندازه‌گیری شد. نتایج بدست آمده از این تحقیق نشان می‌دهد که محیط‌های واریزه‌ای بیشترین میزان افت وزنی (۱۴ درصد برای اندازه ۱۶-۱۹ mm) و محیط‌های رودخانه‌ای کمترین میزان افت وزنی (کمتر از یک درصد برای اندازه ۷۵-۷۷ mm) را دارند. مخروطافکنه‌ها نیز حالتی حد واسط این دو را دارند. با افزایش مساحت حوضه بالادست از ۲۵ تا ۳۰۹ هکتار و افزایش طول آبراهه اصلی از یک تا بیش از سه کیلومتر میزان افت وزنی کاهش می‌یابد. مهم‌ترین علت این اختلاف میزان افت وزنی شدت درزه‌داری سنگ‌دانه‌ها و تخلخل ناشی از هوازدگی بیشتر در محیط‌های واریزه‌ای است که به ترتیب در محیط‌های مخروطافکنه‌ای و رودخانه‌ای کمتر می‌شود. اندازه سنگ‌دانه‌ها نیز بر روی میزان افت وزنی تأثیرگذار است به طوری که با افزایش اندازه، میزان افت وزنی افزایش می‌یابد. ارتباط اندازه ذرات با میزان افت وزنی متأثر از محیط‌های زمین‌شناسی است. در محیط‌های واریزه‌ای و مخروطافکنه‌های با حوضه بالادست کوچک اختلاف افت وزنی سنگ‌دانه‌های درشت و ریز بیشتر است و در بسترها رودخانه‌ای و مخروطافکنه‌های با حوضه بالادست بزرگ اختلاف افت وزنی سنگ‌دانه‌های درشت و ریز کمتر است. در واقع در بسترها رودخانه‌ای و مخروطافکنه‌های دارای حوضه بالادستی بزرگ اثر اندازه ذرات در میزان افت وزنی کاهش یا از بین می‌رود.

واژه‌های کلیدی: مخروطافکنه، محیط‌های زمین‌شناسی، سنگ‌دانه، بخزدگی-آب‌شدگی.

## مقدمه

رسوی، فرایندهای یخزدگی-آب شدگی اثر شدیدتری بر روی آن‌ها دارند (Wang et al., 2016). درزه‌ها نیز اثر زیادی در تخریب ناشی از یخزدگی-آب شدگی سنگدانه‌ها Washburn, 1979; Matsuoka, 1990; Yavuz et al., 2006) در واقع فرایند تخریب ناشی یخزدگی-آب شدگی سنگ‌ها و سنگدانه‌ها به صورت توسعه و بزرگ شدن درزه‌های از قبل موجود است و در امتداد ریزترک‌های موجود، سنگدانه‌ها گسیخته می‌شوند (Washburn, 1979; Kang et al., 2014). علاوه بر ویژگی‌های سنگ‌شناسی، محیط زمین‌شناسی که سنگدانه‌ها در آن تجمع پیدا کرده‌اند بر روی مقاومت سنگدانه‌ها در برابر یخزدگی-آب شدگی اثرگذار است.

رودخانه‌ها، مخروطافکنه‌ها و واریزه‌ها از مهم‌ترین محل‌های تجمع سنگدانه‌ها هستند. شدت و نوع فرایندهای زمین‌شناسی اثرگذار در محیط‌های زمین‌شناسی مختلف متفاوت است. فرایندهای زمین‌شناسی از جمله هوازدگی و انتقال ذرات می‌توانند باعث تغییراتی در سنگدانه‌های طبیعی و به دنبال آن مقاومت در برابر یخزدگی-آب شدگی آن‌ها شدن. هوازدگی شیمیابی سنگ‌ها معمولاً باعث ایجاد کانی‌ها و بخش‌های سست‌تر از سنگ اصلی و مادر می‌شود. انتقال ذرات توسط جریان آب باعث سایش سنگدانه‌ها به هم‌دیگر می‌شود و بخش‌های ضعیف و سست را حذف می‌کند (Neville and Brooks, 2010). همچنین سنگدانه‌ها به علت برخورد با یکدیگر و با بستر رودخانه از محل ریزترک‌های شکسته می‌شوند و در حین فرایند انتقال میزان ریزترک‌های موجود در آن‌ها کاهش می‌یابد. بنابراین هوازدگی و انتقال ذرات اثری متضاد در مقاومت در برابر یخزدگی-آب شدگی سنگدانه‌ها دارند. این دو فرایند در محیط‌های زمین‌شناسی و مخروطافکنه‌های مختلف، شدت اثر متفاوتی دارند. در محیط‌های رودخانه‌ای به علت اثر مداوم انتقال ذرات، بخش‌های هوازده و ضعیف سنگدانه از بین می‌روند، همچنین سنگدانه‌ها به علت برخورد به هم‌دیگر از محل سطوح ضعیف درزه و ناپیوستگی شکسته می‌شوند و در طول فرایند حمل، میزان درزه‌داری

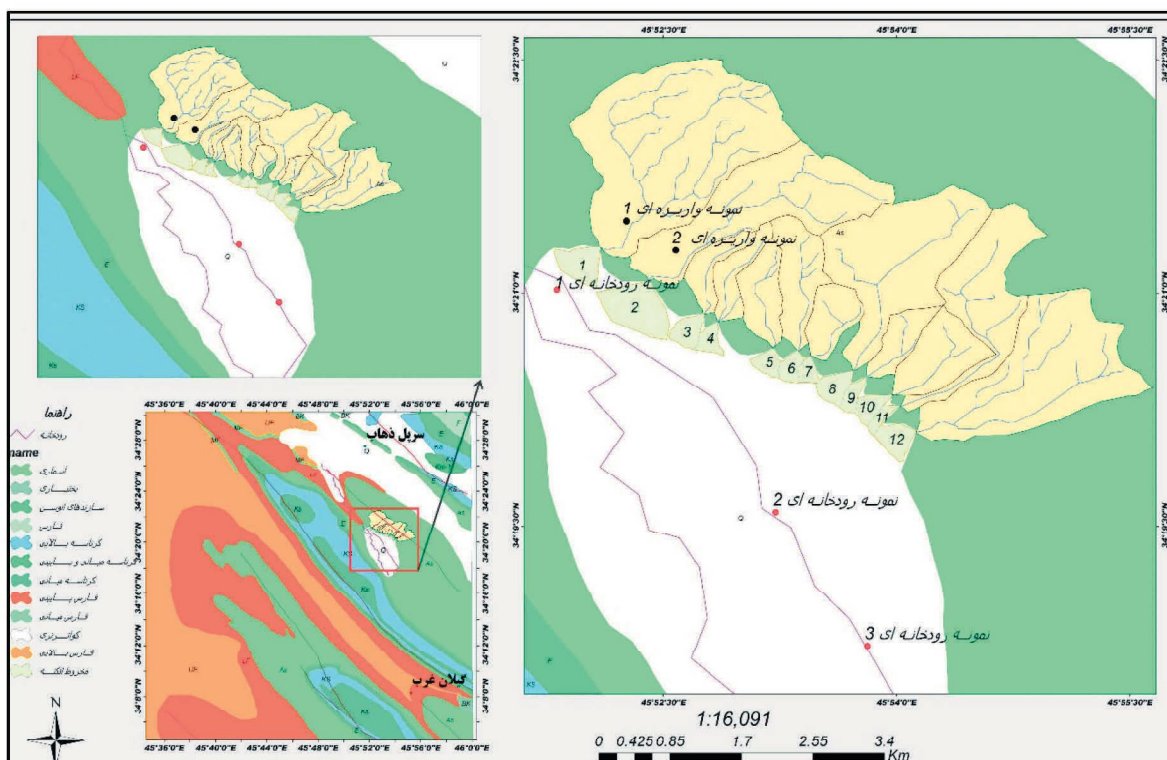
مقاومت در برابر سیکل‌های یخزدگی-آب شدگی یکی از ویژگی‌های مهمی است که در به‌کارگیری سنگدانه‌ها در مناطق سردسیر و در معرض آب باید مورد توجه قرار گیرد. در چنین محیط‌هایی دواو و پایداری بتن متاثر از مقاومت سنگدانه در برابر یخزدگی-آب شدگی است (Smith and Collis, 2001; Piasta et al., 2016). استفاده از سنگدانه‌های ضعیف در ملات‌های مقاوم منجر به تخریب بتن در اثر یخزدگی-آب شدگی خواهد شد (ACI 201.2R-08, 2008 ACI 201.2R-96, 2001; 221R-96, 2001). تخریب سنگدانه‌های مرتبط به علت انسباط ناشی از چرخه‌های یخزدگی-آب شدگی یکی از عوامل مهم در هوازدگی سنگ‌ها و سنگدانه‌ها در مناطق سردسیر است (Seto, 2010). تخریب سنگ‌ها و سنگدانه‌ها به علت فرایند یخزدگی-آب شدگی عمدتاً به صورت ایجاد و توسعه ترک‌ها انجام می‌شود (Kang et al., 2013; Matsuoka, 1990). استفاده از سنگدانه‌های ضعیف در مقابل یخزدگی-آب شدگی عمدتاً باعث ایجاد ترک‌هایی در بتن می‌شود که به آن ترک‌های D شکل می‌گویند (Yang and Chen, 2004; Neville and Brooks, 2010). اندازه فضاهای خالی بر روی مقاومت سنگدانه‌ها در برابر یخزدگی-آب شدگی اثرگذار است. فضاهای خالی خیلی بزرگ و خیلی کوچک تخریب ناشی از یخزدگی را کاهش می‌دهند. فضاهای خالی کوچک به علت کاهش نفوذپذیری سنگدانه باعث کاهش تخریب ناشی یخزدگی-آب شدگی می‌شوند و فضاهای خالی بزرگ نیز به طور کامل اشباع نمی‌شوند و شدت تخریب ناشی از یخزدگی-آب شدگی را کاهش می‌دهند. حفره‌ها با اندازه ۱/۰ تا پنج میکرون بیشترین میزان تخریب در سنگدانه‌ها را ایجاد می‌کنند (Alexander and Mindess, 2005). مقاومت در برابر یخزدگی تحت تأثیر ویژگی‌های مختلفی از جمله ترکیب سنگ‌شناسی، تخلخل، میزان جذب آب، مقاومت، شدت هوازدگی قرار می‌گیرد (Smith and Collis, 2001; Mindess et al., 2003; Alexander and Mindess, 2005). به علت تخلخل و ترکیب کانی‌شناسی سنگ‌های

و فرسایش سازند آسماری در ارتفاعات می‌باشد. به صورت بسیار محدود و جزئی بروزدهایی از سازند گچساران در اطراف منطقه مورد مطالعه دیده می‌شود که بیشتر به علت ضخامت کم، انحلال پذیری و فرسایش پذیری بسیار بالا، رخنمون‌ها بسیار ناچیز است. منطقه از نظر آب و هوایی دارای زمستان‌های ملایم و تابستان‌های گرم است. با این وجود به علت قرارگیری این منطقه در حدفاصل رشته کوه زاگرس و بیابان‌های عراق تفاوت دمای شب و روز بسیار زیاد است. در طول شب به علت وزش باد از مناطق سرد کوهستانی دما بهشت کاهش می‌یابد. تعداد روزهای یخ‌بندان در ایستگاه هواشناسی شهر سرپل ذهاب که کمترین فاصله را با محل نمونه‌برداری دارد، در دوره آماری سال ۶۶ تا ۷۷ ۲۱ روز است که می‌تواند باعث تخریب سنگ‌دانه‌ها به علت فرایند یخ‌زدگی-آب‌شدنگی شود (Karimi et al., 2005؛ ۱۳۷۹). شکل ۱ موقعیت جغرافیایی منطقه مورد مطالعه را نشان می‌دهد.

آن‌ها کاهش می‌یابد. در محیط‌های واریزه‌ای میزان حمل ذرات کمتر است. در این حالت ریزترک‌ها درون سنگ‌ها و سنگ‌دانه‌ها باقی می‌مانند. مخروط‌افکنه‌ها نیز بیشتر حالتی حدواتسط بین محیط‌های رودخانه‌ای و واریزه‌ای قرار دارند. فرایند انتقال ذرات و شدت انرژی جریان در مخروط‌افکنه‌ها متأثر از ویژگی‌های مورفومتری حوضه بالادست مخروط‌افکنه‌ها مثل مساحت، شب و طول مسیر جریان اصلی حوضه بالادست مخروط‌افکنه‌ها است. هدف این پژوهش، بررسی مقاومت سنگ‌دانه‌ها در برابر سیکل‌های یخ‌زدگی-آب‌شدنگی در محیط‌های مختلف واریزه‌ای، مخروط‌افکنه‌ای و رودخانه‌ای است.

### منطقه مورد مطالعه

منطقه مورد مطالعه بخش شمال غربی حوضه دیره واقع در حدفاصل بین شهرهای گیلان‌غرب و سرپل‌ذهاب است. پوشش اصلی این منطقه از نظر چینه‌شناسی از سازند آسماری و رسوبات آبرفتی کواترنر تشکیل شده است. مناطق کوهستانی متشكل از سازند آسماری و مناطق پست و ناویسی از رسوبات کواترنری است که حاصل هوازدگی



شکل ۱. موقعیت جغرافیایی منطقه و محل‌های نمونه‌برداری (شرکت ملی نفت ایران، ۱۹۷۳).

سازند آسماری و داشتن شرایط سنگ‌شناسی مشابه، انتخاب شد. با استفاده از نقشه‌های زمین‌شناسی و تصاویر ماهواره‌ای محیط‌های مختلف انتخاب شد و برای کنترل سنگ‌شناسی یکسان بازدیدهای میدانی دقیقی از حوضه بالادست محل‌های انتخاب شده انجام شد. در نهایت ۱۲ مخروط‌افکنه، دو واریزه و سه محل در امتداد رودخانه دیره برای نمونه‌برداری انتخاب شد. محل تغذیه رسوب در همه این محیط‌ها سازند آسماری است. محیط‌های مختلف در امتداد یا حاشیه یکدیگر واقع شده‌اند و تفاوت سنگ‌شناسی محل تغذیه رسوبات در آن‌ها بسیار کم و ناچیز است. بعد از انتخاب محیط‌های مختلف از طریق مطالعات میدانی نیز جنس سنگ‌دانه‌های تجمع یافته در هر محیط نیز مورد بررسی قرار گرفت. رسوبات تجمع یافته در همه محیط‌های انتخاب شده دارای ترکیب آهکی و از سازند آسماری است. با استفاده از تصاویر ماهواره‌ای و نقشه‌های توپوگرافی مساحت، شبی و طول مسیر آبراهه اصلی در ۱۲ مخروط‌افکنه مختلف به دست آمد. نمونه‌برداری از وسط نیمرخ طولی مخروط‌افکنه‌ها، از بخش پایین واریزه‌ها و حاشیه رودخانه دیره انجام شد. به منظور حذف اثرات احتمالی فعالیت‌های انسانی بر روی سنگ‌دانه‌های سطحی نمونه‌برداری بعد از برداشتن و حذف ۱۵ تا ۲۰ سانتی‌متر از سطح رسوبات تجمع یافته در مخروط‌افکنه‌ها انجام شده است. به منظور افزایش دقت نتایج آزمایش بخزدگی-آب شدگی از هر محل دو نمونه برداشت شده و آزمایش بخزدگی-آب شدگی بر روی هر دو نمونه مطابق با استاندارد A-432-TEX (۲۰۱۴) صورت گرفت. میانگین دو نتیجه به دست آمده به عنوان میزان افت وزنی ناشی از بخزدگی-آب شدگی در نظر گرفته شد. همچنین درزه‌داری سنگ‌دانه‌ها نیز مورد بررسی قرار گرفت و درصد سنگ‌دانه‌های داری درزه از طریق بررسی‌های چشمی برای ۱۵۰ سنگ‌دانه با اندازه ۱۶-۲۵، ۲۵-۳۷/۵، ۲۵-۲۵، ۱۹-۲۵ میلی‌متر (هر اندازه ۵۰ سنگ‌دانه) به دست آمد. نتایج آزمایش‌های به دست آمده مورد تجزیه و تحلیل قرار گرفت و روابط بین مقاومت سنگ‌دانه‌ها در برابر بخزدگی-آب شدگی

این منطقه از نظر تقسیم‌بندی‌های زمین‌ساختی جزو اگرس چین خورده است. مجموعه بسیار زیاد و منظمی از سیستم‌های شکستگی و گسل در این منطقه بخصوص در ارتفاعات دیده می‌شود. این منطقه از نظر تکتونیکی فعال است و شواهد تأثیر فعالیت‌های تکتونیکی در الگوی شبکه‌های زهکشی و هندسه مخروط‌افکنه‌ها دیده می‌شود (Bahrami, 2013). منطقه مورد مطالعه از نظر زئومورفولوژیکی متشكل از واحدهای کوهستان، واریزه‌ها، مخروط‌افکنه‌ها، دشت‌های سیلابی و رودخانه است. واحد کوهستان متشكل از سازند آسماری است و منشاء رسوبات موجود در واریزه‌ها، مخروط‌افکنه‌ها، دشت‌های سیلابی و رودخانه‌ای است. در حد فاصل کوهستان و دشت، مخروط‌افکنه‌ها بخش اصلی پوشش منطقه را تشکیل می‌دهند. حوضه بالادست تمامی مخروط‌افکنه‌ها از سازند آسماری است و رسوبات موجود در تمامی مخروط‌افکنه‌ها مورد مطالعه از سازند آسماری منشاء گرفته است. این موضوع توسط مطالعات و بازدیدهای دقیق میدانی نیز مورد بررسی قرار گرفته است. برای بررسی ارتباط بین مساحت حوضه بالادست مخروط‌افکنه‌ها با ویژگی‌های مخروط‌افکنه‌ها باید شرایط سنگ‌شناسی را مشابه هم در نظر گرفت و اثرات سنگ‌شناسی در تفاوت ویژگی‌های سنگ‌دانه‌ها را حذف کرد. در این راستا انتخاب مخروط‌افکنه‌ها به گونه‌ای صورت گرفته که حوضه بالادست مخروط‌افکنه‌ها از نظر ویژگی‌های سنگ‌شناسی مشابه هم باشند.

## روش مطالعه

با توجه به اثری که ویژگی‌های سنگ‌شناسی در مقاومت سنگ‌دانه‌ها در برابر بخزدگی-آب شدگی دارند اولین قدم در این تحقیق یافتن محیط‌های واریزه‌ای، مخروط‌افکنه و رودخانه‌ای است که تا حد امکان دارای ویژگی‌های سنگ‌شناسی مشابهی باشند. بدین منظور ابتدا با استفاده از تصاویر ماهواره‌ای و نقشه‌های زمین‌شناسی، محدوده بین شهرهای گیلان‌غرب و سریل‌ذهاب مورد بررسی قرار گرفت. منطقه شمال غرب حوضه دیره در حد فاصل بین گیلان‌غرب-سریل‌ذهاب به علت گسترش خیلی زیاد

نیز در میزان افت وزنی سنگدانه‌ها بررسی شده است. ابتدا با استفاده از تصاویر ماهواره‌ای، نقشه‌های توپوگرافی و بازدیدهای میدانی محدوده بالادست مخروطافکنه‌ها و مشخصات کanal‌های جریان مشخص شد. سپس مساحت، شبی و طول آبراهه اصلی حوضه بالادست مخروطافکنه‌ها اندازه‌گیری شد. جدول ۱ مساحت، شبی و طول آبراهه اصلی حوضه بالادست ۱۲ مخروطافکنه مورد مطالعه در این پژوهش را نشان می‌دهد.

با محیط‌های زمین‌شناسی مختلف و ویژگی‌های مورفومتری حوضه‌های بالادست مخروطافکنه به دست آمد. در تجزیه و تحلیل نتایج از روابط بین درزه‌داری با محیط‌های مختلف و میزان افت وزنی سنگدانه‌ها نیز استفاده شد.

## بحث

در این پژوهش علاوه بر بررسی ارتباط محیط‌های مختلف با میزان افت وزنی ناشی از بخزدگی-آب‌شدگی تأثیر ویژگی‌های مورفومتری حوضه بالادست مخروطافکنه‌ها

جدول ۱. مشخصات حوضه بالادستی مخروطافکنه‌ها

ردیف	مساحت(هکتار)	طول مسیر جریان اصلی(متر)	شبی(درصد)	۱۲	۱۱	۱۰	۹	۸	۷	۶	۵	۴	۳	۲	۱
	۲۰۶	۱۳۲	۳۴	۳۳	۱۷۰	۲۹	۵۹	۴۰	۲۹	۵۹	۴۰	۲۷	۲۵	۱۷۶	۳۰۹
	۲۵۳۱	۲۸۰۳	۱۲۲۳	۹۴۶	۲۵۶۹	۹۵۱	۱۴۸۴	۱۳۱۴	۱۱۴۳	۱۱۶۷	۱۸۵۵	۳۲۶۶			
	۳/۴۴	۱/۳۳	۶/۴۵	۴/۵۵	۴/۴۱	۲/۴۳	۷/۴۹	۲/۳۸	۹/۴۳	۳/۳۹	۳/۳۷	۴/۳۶			

## مطالعات سنگ‌شناسی

داده شد. جدول ۲ نتایج این بررسی‌ها را نشان می‌دهد. برای انجام مطالعات میکروسکوپی ۱۰ محل انتخاب و از هر محل ۱۵ مقطع نازک تهیه شد. نتایج بررسی‌های به عمل آمده در جدول ۳ ارائه شده است.

مطالعات سنگ‌شناسی در دو سطح ماکروسکوپی و میکروسکوپی انجام شد. برای انجام مطالعات ماکروسکوپی از هر محیط ۵۰ سنگ‌دانه در اندازه دوتا سه اینچ برداشت شده و با استفاده از مشخصات ظاهری نوع سنگ تشخیص

جدول ۲. نتایج مطالعات ماکروسکوپی سنگ‌شناسی نمونه‌های برداشت شده

نوع سنگ			نوع محیط			نوع سنگ			نوع محیط		
مارن(%)	آهک مارنی(%)	آهک(%)	مارن(%)	آهک مارنی(%)	آهک(%)	مارن(%)	آهک مارنی(%)	آهک(%)	مارن(%)	آهک مارنی(%)	آهک(%)
۹۰	۸	۲	رأس مخروط افکنه شماره ۹	۸۶	۸	۶	۱	۱	رأس مخروط افکنه شماره ۱	۸۶	۸
۹۰	۶	۴	رأس مخروط افکنه شماره ۱۰	۹۰	۸	۲	۱	۱	وسط مخروط افکنه شماره ۱	۹۰	۸
۸۸	۸	۴	رأس مخروط افکنه شماره ۱۱	۸۸	۸	۴	۲	۲	رأس مخروط افکنه شماره ۲	۸۸	۸
۸۸	۱۰	۲	رأس مخروط افکنه شماره ۱۲	۹۲	۶	۲	۲	۲	وسط مخروط افکنه شماره ۲	۹۲	۶
۸۴	۱۰	۶	واریزه شماره ۱	۸۸	۸	۴	۳	۳	رأس مخروط افکنه شماره ۳	۸۸	۸
۸۴	۸	۸	واریزه شماره ۲	۹۰	۶	۴	۴	۴	رأس مخروط افکنه شماره ۴	۹۰	۶
۹۶	۴	۰	رودخانه شماره ۱	۸۸	۱۰	۲	۵	۵	رأس مخروط افکنه شماره ۵	۸۸	۱۰
۹۴	۶	۰	رودخانه شماره ۲	۹۰	۶	۴	۶	۶	رأس مخروط افکنه شماره ۶	۹۰	۶
۹۴	۴	۲	رودخانه شماره ۳	۹۲	۶	۲	۷	۷	رأس مخروط افکنه شماره ۷	۹۲	۶
				۸۶	۸	۶	۸	۸	رأس مخروط افکنه شماره ۸	۸۶	۸

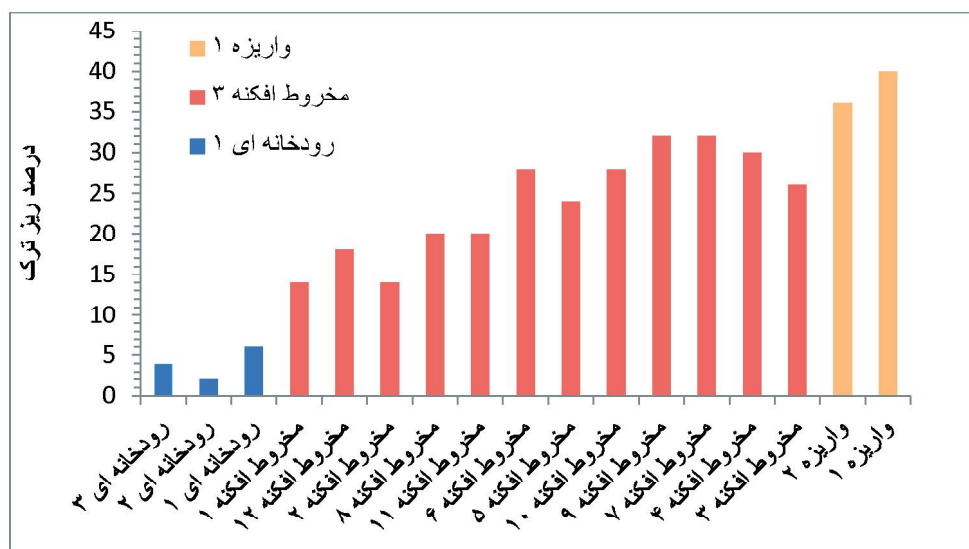
جدول ۳. جنس سنگ در مقاطع نازک تهیه شده از محیط‌های مختلف

تعداد کل مقاطع	نوع محیط	آهک‌های دولومیتی شده (تعداد مقاطع)	مادستون	وکستون	پکستون	گرینستون	نوع سنگ
۱۵	رأس مخروط افکنه شماره ۱	۳	۱	۳	۳	۸	
۱۵	وسط مخروط افکنه شماره ۱	۳		۳		۹	
۱۵	رأس مخروط افکنه شماره ۲	۲	۱	۳		۹	
۱۵	وسط مخروط افکنه شماره ۲	۲		۱	۳	۹	
۱۵	رأس مخروط افکنه شماره ۷	۳			۴	۸	
۱۵	رأس مخروط افکنه شماره ۸	۳	۱	۲	۲	۹	
۱۵	واریزه شماره ۱	۲	۱	۱	۲	۸	
۱۵	واریزه شماره ۲	۲		۱	۲	۸	
۱۵	رودخانه شماره ۱	۳			۳	۹	
۱۵	رودخانه شماره ۲	۲		۱	۴	۸	

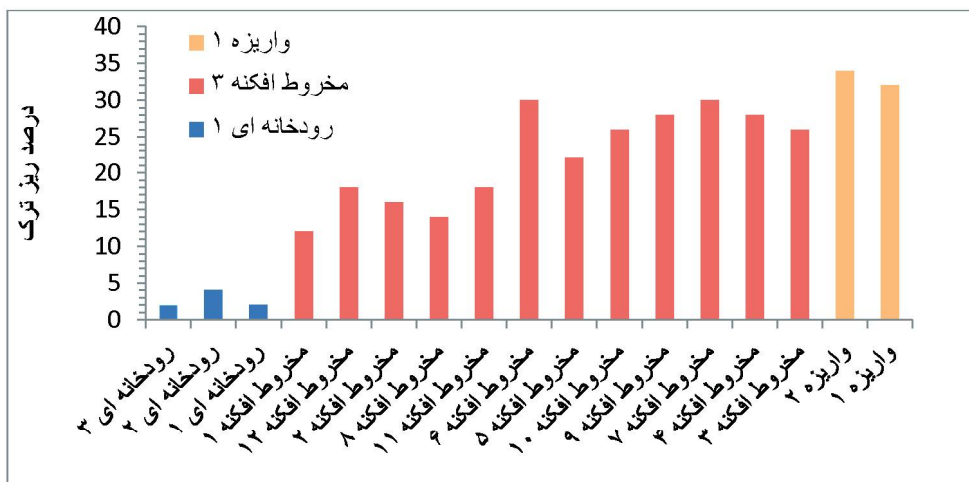
## درزه و ترک

. (and Snyder, 1994; Richardson, 2009 به منظور بررسی درزه‌داری سنگ‌دانه‌ها ابتدا از محیط‌های رودخانه‌ای، مخروط‌افکنه‌ای و واریزه‌های مورد مطالعه نمونه‌برداری برای سه اندازه مختلف، ۳۷/۵-۲۵-۱۶ و ۲۵-۱۲/۵ میلی‌متر صورت گرفته است. محل‌های برداشت نمونه شامل سه محل در طول مسیر رودخانه دیره، دو واریزه و ۱۲ مخروط‌افکنه است. نمونه‌های برداشت شده شامل ۱۵۰ سنگ‌دانه برای هر سه اندازه مختلف (هر اندازه ۵ سنگ‌دانه) است. نحوه برداشت نمونه‌ها بعد از الک‌کردن به روش چهار بخش کردن و به صورت تصادفی بوده است. بررسی ریزترک‌های موجود در سنگ‌ها از روش‌های چشمی یا میکروسکوپ الکترونی امکان‌پذیر است (Schedl et al., 1986; Montoto et al., 1994 بررسی درزه‌داری سنگ‌دانه‌ها با چشم غیرمسلح بوده و بر اساس تعداد سنگ‌دانه‌های دارای درزه از کل سنگ‌دانه‌ها انجام شده است. شکل‌های ۲ تا ۶ نتایج بدست‌آمده برای ریزترک‌های موجود در سنگ‌دانه و ارتباط آن با محیط‌های مختلف و ویژگی‌های ریخت‌شناسی حوضه بالادست مخروط‌افکنه‌ها را نشان می‌دهد. نتایج بدست‌آمده در شکل‌های ۲ تا ۶ نشان می‌دهد که بیشترین میزان ریزترک در محیط‌های واریزه‌ای و کمترین درصد سنگ‌دانه‌های دارای درزه در محیط‌های رودخانه‌ای

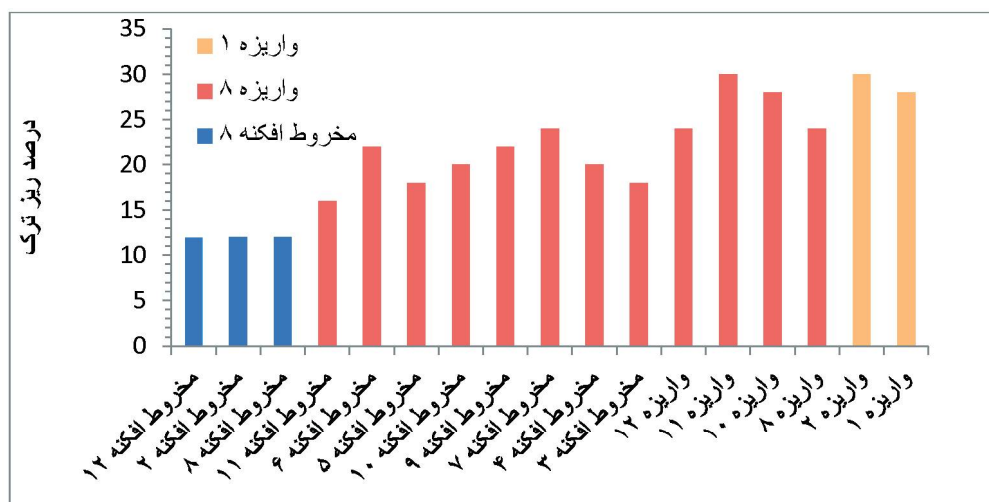
درزه‌ها و ناپیوستگی‌های بسیار ریزی که درون سنگ‌دانه‌ها وجود دارند از جمله مهم‌ترین نقاط ضعف سنگ‌دانه‌ها هستند. درزه‌ها و ناپیوستگی‌های می‌توانند اولیه یا ثانویه باشند. لایه‌بندی و ساختارهای رسوبی از جمله ناپیوستگی‌های اولیه هستند و تکتونیک، یخزدگی-آب شدگی و تنش‌های حرارتی از جمله مهم‌ترین عوامل ایجاد ناپیوستگی‌های ثانویه هستند. تأثیر این عوامل بستگی به شرایط اقلیمی و زمین‌شناسی مناطق و حتی جنس سنگ‌ها متفاوت است. در مناطق فعال زمین‌ساختی، نیروهای تکتونیکی مهم‌ترین عامل ایجاد ترک در سنگ‌ها هستند. به نظر می‌رسد تأثیر تکتونیک در ایجاد درزه در سنگ‌های شکننده شدیدتر باشد. منطقه مورد مطالعه به علت شرایط دمایی و رطوبت بالا پتانسیل بسیار کمی در ایجاد درزه‌های ناشی از یخزدگی و تغییرات حرارتی دارد و به نظر می‌رسد با توجه به فعال بودن زمین‌ساختی منطقه، تکتونیک نقش مهمی در تشکیل درزه‌های موجود در سنگ‌ها و سنگ‌دانه‌ها داشته است. سنگ‌ها در محل درزه‌ها بسیار ضعیف بوده و طی فرایند یخزدگی به سهولت در امتداد آن گسیخته می‌شوند (smith Litvan, 1973; and collis, 2001). پارامترهای دیگری چون اندازه فضاهای خالی، درجه اشباع شدگی سنگ‌دانه‌ها، اندازه سنگ‌دانه‌ها و مقاومت کششی سنگ‌دانه‌ها می‌تواند در شدت تخریب ناشی از یخزدگی مؤثر باشد (Janssen, D.J., 1973).



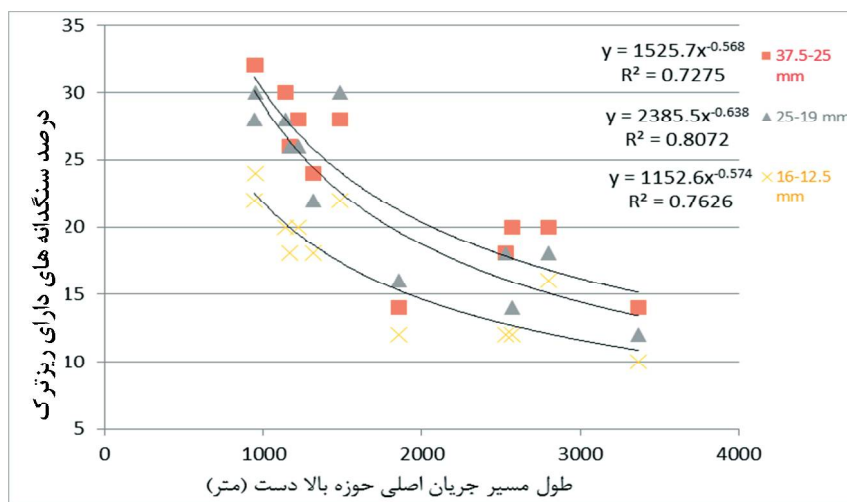
شکل ۲. ارتباط درصد ریزترک با محیط‌های تجمع سنگ‌دانه در گستره مورد مطالعه برای ذرات  $m$



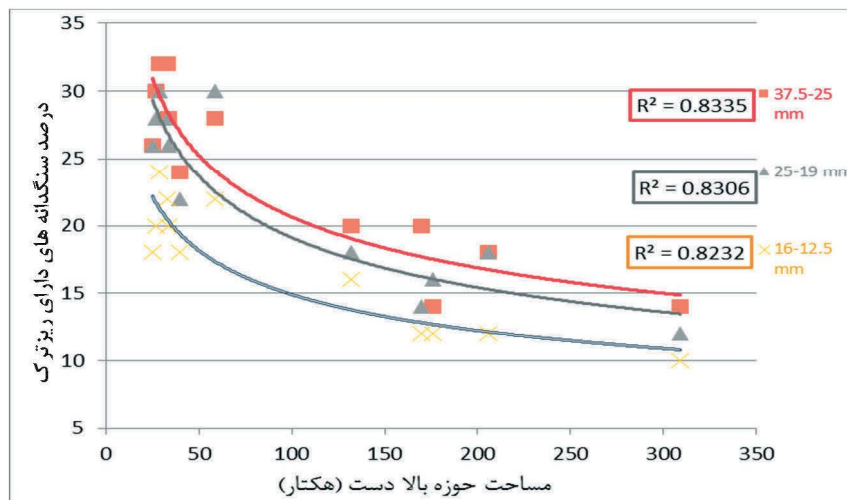
شکل ۳. ارتباط درصد ریزترک با محیط‌های تجمع سنگ‌دانه در گستره مورد مطالعه برای ذرات ۲۵-۱۹ mm



شکل ۴. ارتباط درصد ریزترک با محیط‌های تجمع سنگ‌دانه در گستره مورد مطالعه برای ذرات ۱۶-۱۲/۵ mm



شکل ۵. ارتباط درصد سنگدانه‌های دارای ریزترک با طول مسیر جریان اصلی حوضه بالا دست مخروط‌افکنه‌ها



شکل ۶. ارتباط بین مساحت حوضه بالادست مخروط‌افکنه‌ها و اندازه سنگدانه‌ها با درصد سنگدانه‌های دارای درزه

شرایط محیطی است. فرایندهای محیطی از قبیل تغییرات حرارت، تر و خشک شدن و انجماد و ذوب آب سنگدانه‌ها از جمله عوامل مخرب سنگدانه‌ها هستند. انجماد و ذوب آب سنگدانه‌ها در محیط‌های سردسیر و پرتوزه‌هایی که در معرض آب هستند عامل بسیار مهمی در تخریب آن‌ها می‌باشد (Ruedrich et al., 2011; Wang et al., 2016).

سنگ‌های آهکی نیز به علت ترکیب کانی‌شناسی وجود ساختارهای متخلخل تأثیر بیشتری از فرایندهای بخزدگی-آب شدگی می‌پذیرند (Wang et al., 2016).

فرایند بخزدگی-آب شدگی سنگدانه‌ها به چند طریق منجر به تخریب آن‌ها می‌شود. افزایش حجم آب درون فضاهای خالی می‌تواند باعث افزایش حجم و ایجاد تنش

به دست آمده است. مخروط‌افکنه‌ها حالتی حد واسطه بین محیط‌های رودخانه‌ای و واریزه‌ای هستند و متأثر از مساحت و طول مسیر جریان حوضه بالادست مخروط‌افکنه‌ها هستند. با افزایش مساحت و طول مسیر جریان حوضه بالادست مخروط‌افکنه‌ها میزان سنگدانه‌های دارای درزه کاهش می‌یابد. اندازه سنگدانه‌ها نیز ارتباط کاملاً مشخصی با درصد سنگدانه‌های درزه دارد و با کاهش اندازه ذرات درصد سنگدانه‌های درزه‌دار کاهش می‌یابد.

## بخزدگی-آب شدگی

یکی از ویژگی‌های مهمی که در استفاده سنگدانه‌ها باید مورد توجه قرار گیرد دوام و پایداری آن‌ها در برابر

اندازه فضاهای خالی، درجه اشباع شدگی سنگدانه‌ها، اندازه سنگدانه‌ها و شکل فضاهای خالی می‌تواند در شدت تخریب ناشی از بخزدگی مؤثر باشد (Litvan, 1973; Alexander and Mindess, 2005). تکرار زیاد چرخه انجماد و ذوب آب منفذی درون سنگ‌ها باعث توسعه و ایجاد ترک درون آن‌ها می‌شود (Park et al., 2015). در شکل ۷ نمونه‌هایی از آن نشان داده شده است.

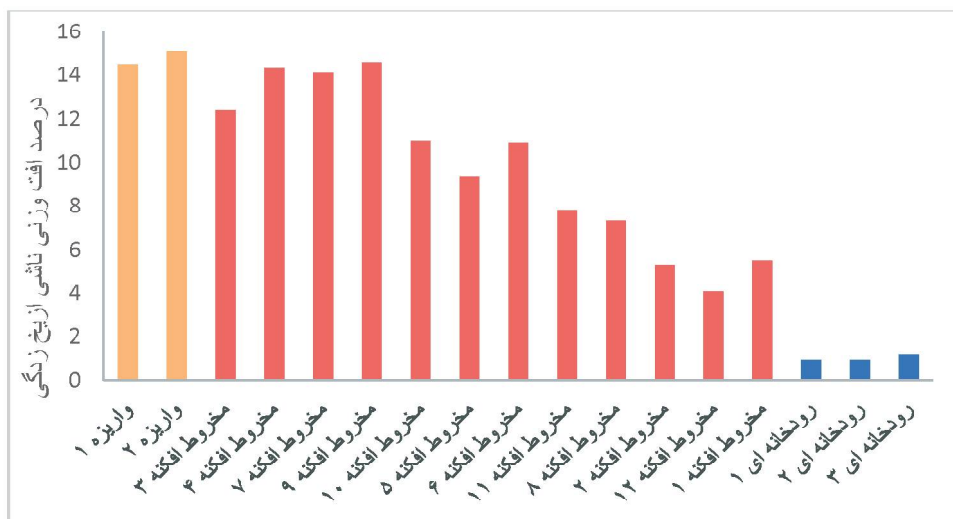
داخلی درون سنگ شود. درزهای تخلخل نیز تأثیر بسیار زیادی در تخریب ناشی از بخزدگی-آب شدگی سنگدانه‌ها دارد (Alexander and Mindess, 2005; Washburn, 1979; Matsuoka, 1990). در واقع سنگ‌ها در محل درزهای بسیار ضعیف می‌باشند و طی فرایند بخزدگی به سهولت در امتداد آن گسیخته می‌شوند (Litvan, 1973). شکل ۷ نمونه‌هایی که از تخریب سنگدانه‌ها در این پژوهش مشاهده شده، را نشان می‌دهد. پارامترهای دیگری چون



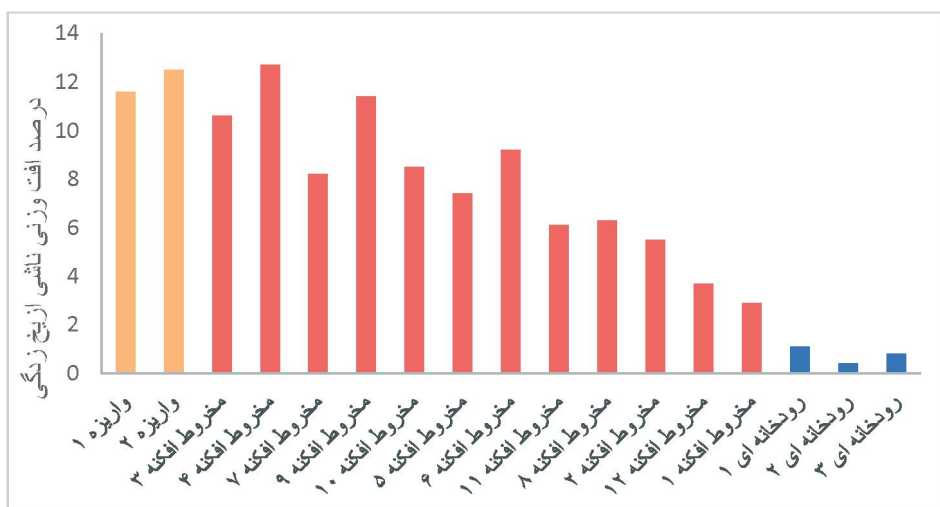
شکل ۷. نمونه‌هایی از تخریب سنگدانه‌ها به علت سیکل‌های بخزدگی-آب شدگی

۱۰ سیکل آزمایش یخزدگی-آب شدگی مطابق با استاندارد TEX-432-A (۲۰۱۴) بر روی نمونه‌های برداشت شده از ۱۲ مخروط‌افکنه، دو واریزه و سه رودخانه انجام شده است. شکل‌های ۸ تا ۱۲ ارتباط بین افت وزنی ناشی یخزدگی برای اندازه‌های مختلف سنگ‌دانه‌ها در محیط‌ها و مخروط‌افکنه‌های مختلف را نشان می‌دهد.

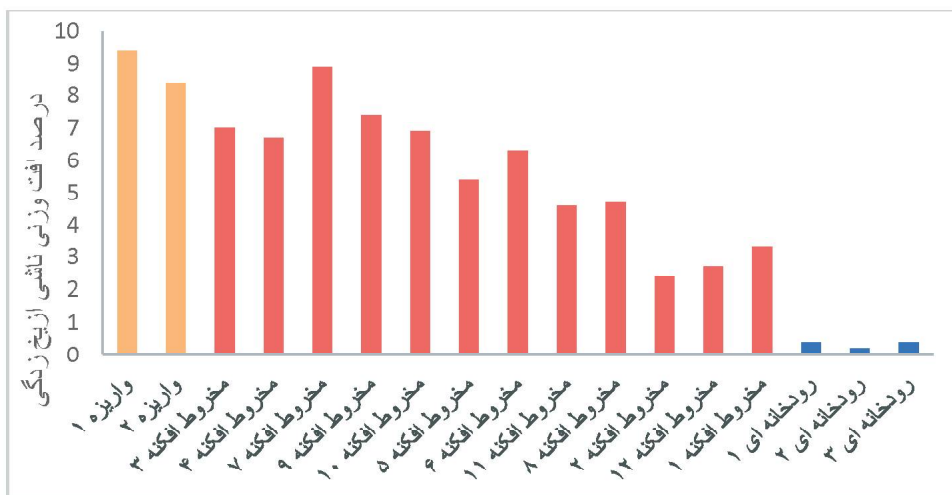
همان‌طور که در بخش‌های قبل شرح داده شد سنگ‌دانه‌های تجمع یافته در محیط‌های متفاوت به علت اثر فرایندهای زمین‌شناسی مختلف، شدت درزه‌داری متفاوتی نیز دارند. بنابراین این تفاوت‌ها می‌تواند بر روی میزان افت وزنی ناشی از یخزدگی-آب شدگی سنگ‌دانه‌ها تأثیرگذار باشد. به منظور بررسی این موضوع،



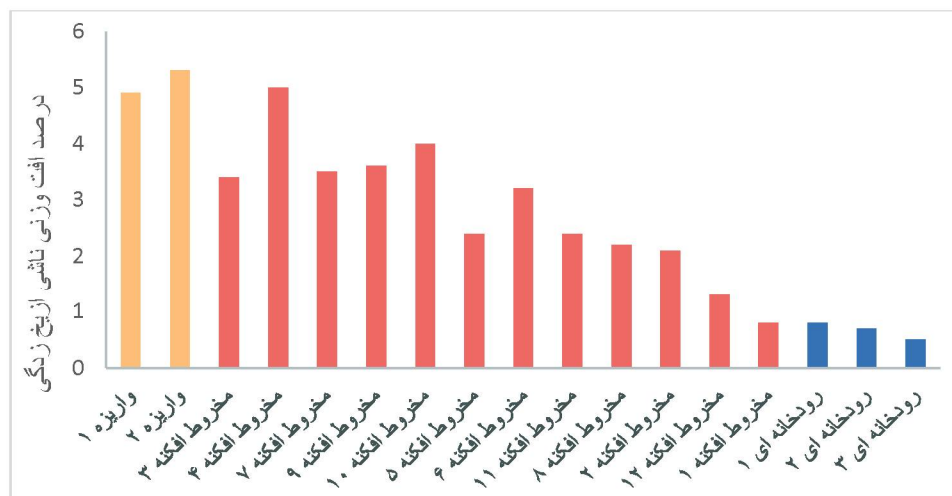
شکل ۸. ارتباط محیط‌های زمین‌شناسی با میزان افت وزنی ناشی از ۱۰ سیکل یخزدگی-آب شدگی سنگ‌دانه‌های با اندازه ۱۹-۱۶ mm



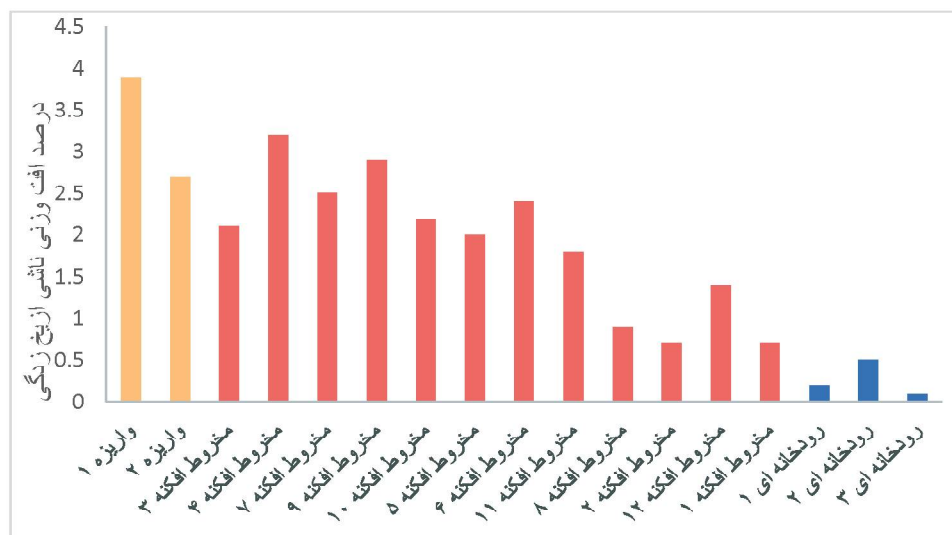
شکل ۹. ارتباط محیط‌های زمین‌شناسی با میزان افت وزنی ناشی از ۱۰ سیکل یخزدگی-آب شدگی سنگ‌دانه‌های با اندازه ۱۶-۱۲/۵ mm



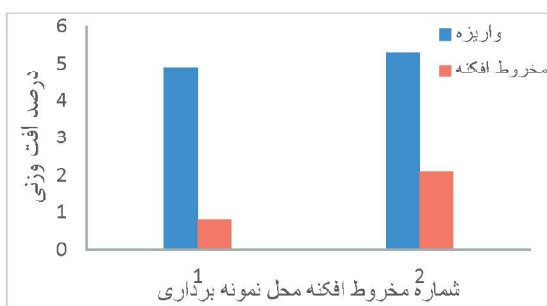
شکل ۱۰. ارتباط محیط‌های زمین‌شناسی با میزان افت وزنی ناشی از ۱۰ سیکل یخ‌زدگی-آب‌شدگی سنگ‌دانه‌های با اندازه ۱۲/۵-۹/۵ mm



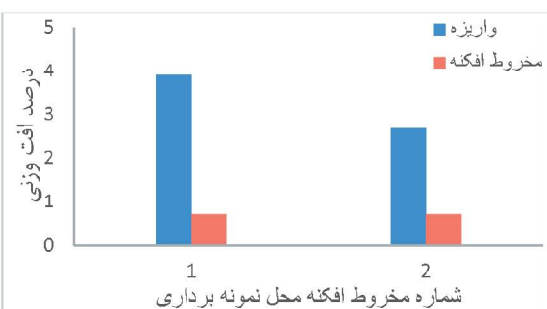
شکل ۱۱. ارتباط محیط‌های زمین‌شناسی مختلف با میزان افت وزنی ناشی از ۱۰ سیکل بیخ‌زدگی-آب‌شدگی سنگ‌دانه‌های با اندازه ۹/۵-۴/۷۵ mm



شکل ۱۲. ارتباط محیط‌های زمین‌شناسی مختلف با میزان افت وزنی ناشی از ۱۰ سیکل یخ‌زدگی-آب‌شدگی سنج‌دانه‌های با اندازه ۴/۷۸-۲/۳۶ mm



شکل ۱۶. اختلاف بین میزان افت وزنی ناشی از ۱۰ سیکل بیخ زدگی- آب شدگی سنگدانه‌های تجمع یافته در مخروط‌افکنه‌ها و واریزه‌های واقع در حوضه بالادست آن ( $9/5-4/25 \text{ mm}$ )

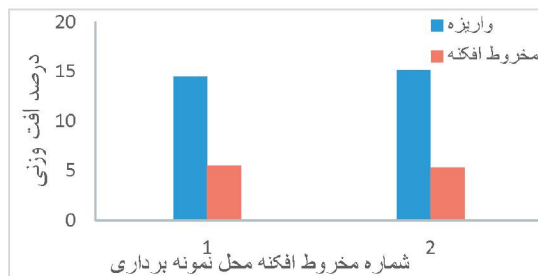


شکل ۱۷. اختلاف بین میزان افت وزنی ناشی از ۱۰ سیکل بیخ زدگی- آب شدگی سنگدانه‌های تجمع یافته در مخروط‌افکنه‌ها و واریزه‌های واقع در حوضه بالادست آن ( $4/25-2/36 \text{ mm}$ )

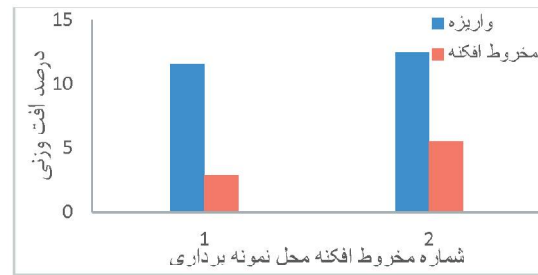
همان‌طور که از این نتایج مشخص است میزان افت وزنی ناشی از بیخ زدگی- آب شدگی برای سنگدانه‌های با اندازه متفاوت در مخروط‌افکنه‌ها کمتر از واریزه‌هاست. در بررسی علت تغییرات ایجاد شده باید به فرایندهای زمین‌شناسی حاکم بر این محیط‌ها توجه داشت. در محیط‌های رودخانه‌ای فرایند انتقال ذرات باعث برخورد ذرات به هم‌دیگر شده و سنگدانه‌ها در امتداد ریزترک‌ها ضعیفترین سطوح موجود در سنگدانه‌ها شکسته می‌شوند. این فرایند باعث حذف واژه بین رفتن سطوح ضعیف درون سنگدانه‌ها می‌شود. این تغییرات در قسمت‌های بالاتر و در شکل‌های ۲ تا ۶ نشان داده شده است. بنابراین با توجه تأثیری که فرایندهای زمین‌شناسی در محیط‌های مختلف بر روی میزان ریزترک‌های موجود در سنگدانه‌ها دارند و اختلافی که در درصد ریزترک‌های موجود در سنگدانه‌ها در محیط‌های مختلف وجود دارد، می‌توان گفت فرایندهای حاکم بر محیط‌های زمین‌شناسی از طریق تأثیری که بر درزه‌داری سنگدانه‌ها دارند، میزان افت وزنی ناشی از

نتایج ارائه شده نشان می‌دهد میزان افت وزنی به دست آمده در محیط‌های مختلف متفاوت است. بیشترین افت وزنی در محیط‌های واریزه‌ای دیده می‌شود و کمترین افت وزنی مربوط به محیط‌های رودخانه‌ای است. افت وزنی ناشی از بیخ زدگی در سنگدانه‌های برداشت شده از مخروط‌افکنه نیز بیشتر حد واسطه بین واریزه‌ها و رودخانه قرار دارد.

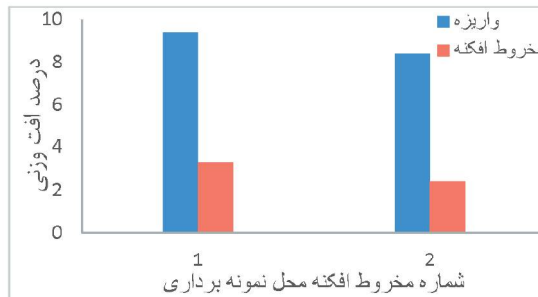
دو واریزه‌ای که برای نمونه‌برداری انتخاب شده‌اند در حوضه بالادست مخروط‌افکنه‌های شماره ۱ و ۲ قرار دارند. شکل‌های ۱۳ تا ۱۷ اختلاف میزان افت وزنی ناشی از بیخ زدگی- آب شدگی در هر مخروط‌افکنه با واریزه‌های واقع در حوضه بالادست آن مخروط‌افکنه را نشان می‌دهد. این نتایج به صورت مقایسه میزان افت وزنی در دو محیط برای اندازه‌های مختلف است.



شکل ۱۳. اختلاف بین میزان افت وزنی ناشی از ۱۰ سیکل بیخ زدگی- آب شدگی سنگدانه‌های تجمع یافته در مخروط‌افکنه‌ها و واریزه‌های واقع در حوضه بالادست آن ( $16-19 \text{ mm}$ )



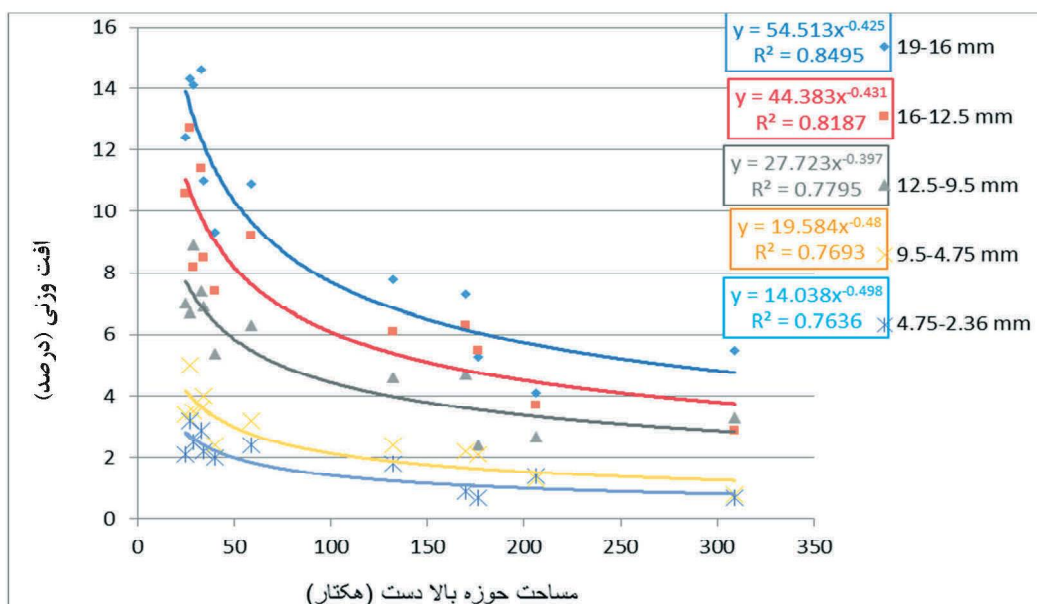
شکل ۱۴. اختلاف بین میزان افت وزنی ناشی از ۱۰ سیکل بیخ زدگی- آب شدگی سنگدانه‌های تجمع یافته در مخروط‌افکنه‌ها و واریزه‌های واقع در حوضه بالادست آن ( $16-12/5 \text{ mm}$ )



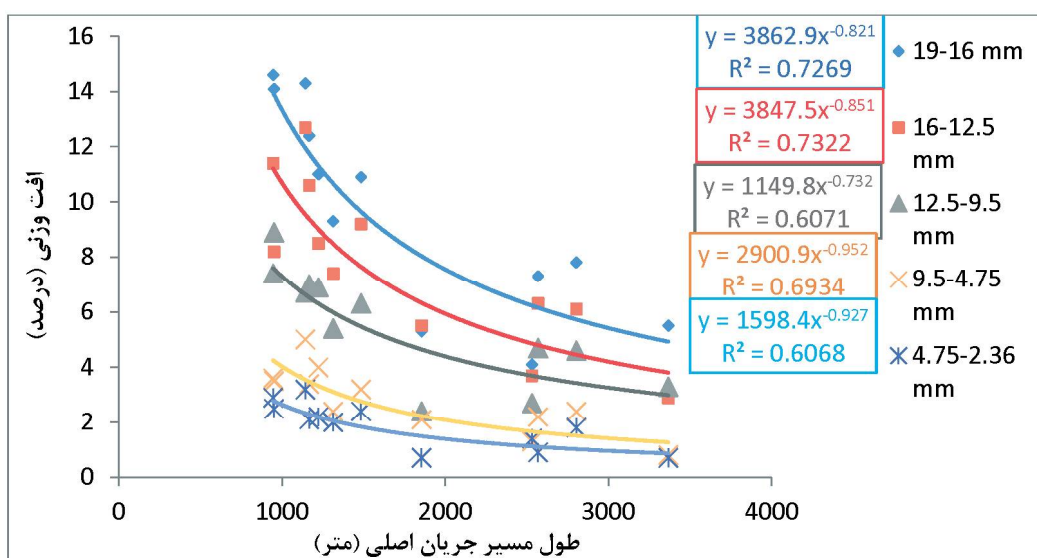
شکل ۱۵. اختلاف بین میزان افت وزنی ناشی از ۱۰ سیکل بیخ زدگی- آب شدگی سنگدانه‌های تجمع یافته در مخروط‌افکنه‌ها و واریزه‌های واقع در حوضه بالادست آن ( $12/5-9/5 \text{ mm}$ )

باشند. بنابراین ویژگی‌های مورفومتری حوضه بالادست مخروطافکنهای می‌تواند بر روی مقاومت سنگدانه‌ها در برابر فرایند یخ‌زدگی-آب‌شدگی تأثیرگذار باشد. در شکل‌های ۱۸ و ۱۹ ارتباط ویژگی‌های مورفومتری مخروطافکنهای میزان افت وزنی سنگدانه‌ها در برابر سیکل‌های یخ‌زدگی-آب‌شدگی نشان داده شده است.

یخ‌زدگی-آب‌شدگی در سنگدانه‌ها را کنترل می‌کنند. مخروطافکنهای مختلف نیز دارای ویژگی‌های مورفومتری متفاوتی هستند. ویژگی‌هایی مثل مساحت حوضه بالادست، طول مسیر جریان و شبیح حوضه بالادست می‌توانند بر روی میزان و سرعت جریان‌های ایجاد شده در مخروطافکنهای و در نهایت فرایند انتقال و هوازدگی سنگدانه‌ها تأثیرگذار



شکل ۱۸. ارتباط بین میزان افت وزنی ناشی از ۱۰ سیکل آزمایش یخ‌زدگی-آب‌شدگی سنگدانه‌ها با مساحت حوضه بالادستی و تعذیه‌کننده مخروطافکنهای

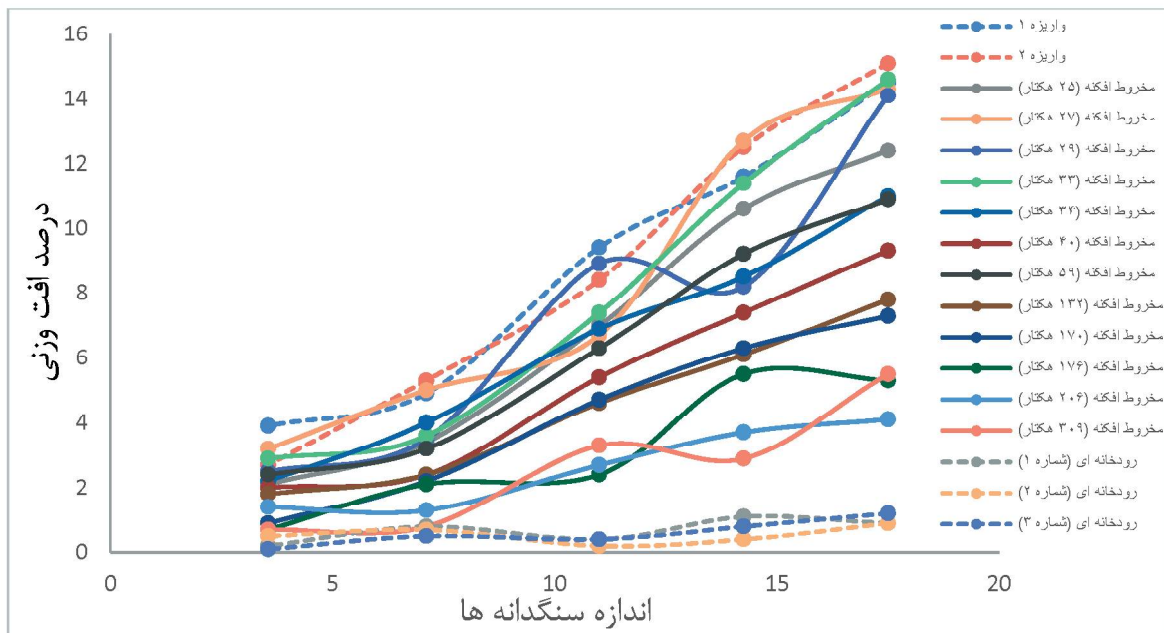


شکل ۱۹. ارتباط بین میزان افت وزنی ناشی از ۱۰ سیکل آزمایش یخ‌زدگی-آب‌شدگی سنگدانه‌ها با طول آبراهه اصلی حوضه بالادست مخروطافکنهای

سایش شده و بیشتر حذف می‌شوند. افزایش طول مسیر انتقال ذرات نیز اثری مشابه مساحت حوضه بالادست در ویژگی‌های سنگ‌دانه‌ها ایجاد می‌کند.

در شرایط یکسان می‌توان گفت که هر چقدر اندازه سنگ‌دانه‌ها بزرگ‌تر می‌شود امکان حضور ریزترک و ناپیوستگی در سنگ‌دانه‌ها بیشتر می‌شود. با توجه به اثری که ریزترک‌ها در مقاومت سنگ‌دانه‌ها در برابر بخزدگی-آب شدگی دارند اندازه سنگ‌دانه‌ها می‌تواند بر روی شدت افت وزنی ناشی از بخزدگی-آب شدگی اثرگذار باشد. در شکل ۲۰ اثر اندازه سنگ‌دانه‌های برداشت شده از محیط‌ها و مخروط‌افکنهای مختلف بر روی میزان افت وزنی ناشی از ۱۰ سیکل بخزدگی-آب شدگی نشان داده شده است.

نتایج ارائه شده نشان می‌دهد که با افزایش مساحت حوضه بالادست یا تغذیه کننده مخروط‌افکنهای میزان تخریب ناشی از بخزدگی کاهش می‌یابد. این موضوع می‌تواند با افزایش انرژی جریان و حذف ریزترک‌ها و سنگ‌دانه‌های ضعیف در مخروط‌افکنهای باشد. در واقع با افزایش مساحت حوضه بالادست، میزان جریان آب و سیل خروجی از کوهستان افزایش می‌یابد. افزایش شدت و انرژی جریان باعث برخورد شدیدتر سنگ‌دانه‌ها به یکدیگر و به بستر خود شده و باعث شکسته شدن سنگ‌دانه‌ها از محل ترک‌های موجود می‌شود. بنابراین با افزایش انرژی جریان میزان ترک‌های موجود در سنگ‌دانه‌ها کاهش می‌یابد. علاوه بر این سنگ‌دانه‌های سست و ضعیف در جریان شدید و پرانرژی‌تر، بیشتر دچار



شکل ۲۰. تأثیر اندازه ذرات بر میزان افت وزنی ناشی از ۱۰ سیکل بخزدگی-آب شدگی در محیط‌های مختلف

تفاوت میزان درزه و ترک‌های موجود در سنگ‌دانه‌ها که با چشم غیرمسلح شمارش شده‌اند را نشان می‌دهد. نتایج این پژوهش نشان می‌دهد که با افزایش اندازه ذرات مقاومت آن‌ها در برابر بخزدگی کاهش می‌یابد اما شدت کاهش مقاومت متاثر از محیطی است که سنگ‌دانه‌ها در آن تشکیل شده‌اند. با افزایش مساحت حوضه بالادست مخروط‌افکنهای اختلاف درزه‌داری سنگ‌دانه‌های درشت با ریز کاهش می‌یابد بنابراین اثر ریزترک‌ها در مقاومت سنگ‌دانه‌ها در آن‌ها کمتر از سنگ‌دانه‌های درشت است. نتایج ارائه شده در شکل ۵

در زمینه تأثیر اندازه سنگ‌دانه‌ها بر مقاومت آن‌ها در برابر بخزدگی مطالعات محدودی انجام شده است که نشان می‌دهد با افزایش اندازه سنگ‌دانه‌ها آسیب‌پذیری سنگ‌دانه‌ها در برابر بخزدگی بیشتر می‌شود (Mac Innis and Lau, 1973; Litvan, 1971). این اختلاف را می‌توان در ارتباط با تفاوت در میزان درزه‌های موجود در سنگ دانست. با توجه به اینکه سنگ‌دانه‌های ریزتر از شکستن سنگ‌دانه‌های درشت‌تر حاصل می‌شوند میزان درزه و ترک در آن‌ها کمتر از سنگ‌دانه‌های درشت است. نتایج ارائه شده در شکل ۵

زیادی بر روی مقاومت در برابر فرایند یخزدگی-آب شدگی دارد.

مخروطافکنهای نیز شرایطی حد وسط بین واریزهای رودخانهای را دارند و میزان افت وزنی سنگدانهای متأثر از یخزدگی‌های مورفومتری حوضه بالادست است. مساحت، شیب و طول مسیر آبراهه اصلی در میزان افت وزنی سنگدانهای تجمع یافته در مخروطافکنهای تأثیرگذار است. نتایج این پژوهش نشان می‌دهد با افزایش مساحت و طول آبراهه اصلی، میزان افت وزنی سنگدانهای کاهش می‌باشد و با افزایش شیب، میزان افت وزنی سنگدانهای افزایش می‌یابد. این تغییرات از بیش از ۱۴ درصد برای مخروط افکنهای با حوضه بالادست کوچک (مساحت ۳۳ هکتار و طول آبراهه اصلی کمتر از یک کیلومتر) و اندازه ۱۶-۱۹ تا کمتر از یک درصد برای مخروط افکنهای دارای حوضه بالادست بزرگ (مساحت ۳۰۹ هکتار و طول آبراهه اصلی بیش از سه کیلومتر) و اندازه ۴/۷۵-۲/۳۶ میلی‌متر مشاهده شده است.

اندازه سنگدانهای نیز در میزان افت وزنی ناشی از یخزدگی-آب شدگی تأثیرگذار است. عموماً سنگدانهای درشت‌تر افت وزنی بیشتری نسبت به سنگدانهای ریزتر دارند. ارتباط اندازه سنگدانهای با میزان افت وزنی نیز متأثر از محیط‌های زمین‌شناسی مختلف است به‌گونه‌ای که بیشترین میزان اختلاف افت وزنی در سنگدانهای درشت و ریز، مربوط به واریزهای است و کمترین میزان اختلاف مربوط به محیط‌های رودخانهای است. در واقع در محیط‌های رودخانهای میزان افت وزنی ذرات درشت و ریز نزدیک به هم بوده و اثر اندازه در میزان افت وزنی کمتر می‌شود. مخروطافکنهای نیز شرایطی حد وسط را دارند و تأثیر اندازه ذرات با افزایش وسعت و طول آبراهه اصلی حوضه بالادست کمتر می‌شود.

## منابع

- شرکت خدمات مهندسی جهاد سازندگی استان کرمانشاه، ۱۳۷۹. گزارش هوای اقلیم حوضه آبخیز پشت تنگ.
- شرکت ملی نفت ایران، ۱۹۷۳. نقشه زمین‌شناسی ۱/۲۵۰۰۰.

درشت‌تر کمتر است.

به‌طور کلی می‌توان گفت که با افزایش مساحت حوضه بالادست مخروطافکنهای اختلاف درصد ریزتر که در سنگدانهای درشت و ریز کمتر می‌شود که این امر به‌نوبه خود باعث کاهش اختلاف مقدار افت وزنی ناشی از یخزدگی-آب شدگی در سنگدانهای درشت و ریز می‌شود. نتایج به‌دست آمده برای واریزهای رودخانه نیز به تائید این مدعای کمک می‌کند. در محیط‌های رودخانهای که میزان ریزتر و اختلاف درصد ریزتر در سنگدانهای درشت و ریز بسیار کمتر است، کمترین میزان اختلاف افت وزنی در سنگدانهای ریز و درشت دیده می‌شود. بیشترین اختلاف در افت وزنی سنگدانهای درشت و ریز در محیط‌های واریزهای است که اختلاف شدیدتری نیز در میزان ریزتر در سنگدانهای درشت و ریز دارند.

## نتیجه‌گیری

یافتن سنگدانهای طبیعی با دوام و مقاوم در برابر یخزدگی می‌تواند تأثیر بسیار زیادی در توسعه پایدار و دوام سازه‌های بتُنی و آسفالتی در مناطق سردسیر داشته باشد. در این پژوهش ارتباط بین محیط‌های زمین‌شناسی و مقاومت سنگدانهای در برابر فرایند یخزدگی-آب شدگی مورد بررسی قرار گرفته است. نتایج این پژوهش نشان می‌دهد که جدای از اثرات سنگ‌شناسی در مقاومت سنگدانهای، محیط‌های زمین‌شناسی محل تجمع سنگدانهای نیز در مقاومت آن‌ها در برابر سیکل‌های یخزدگی آب شدگی تأثیرگذارند. بیشترین افت وزنی ناشی از یخزدگی در سنگدانهای واریزهای (حدود ۱۵ درصد برای سنگدانهای ۱۶-۱۹ میلی‌متر) و کمترین میزان افت وزنی در سنگدانهای رودخانهای (حدود یک درصد برای همه اندازه‌های مورد بررسی) مشاهده شده است. در واقع در محیط‌های واریزهای به علت هوازدگی بیشتر و میزان انتقال کمتر، سنگدانهای دارای قشر هوازده و درصد ریزتر بیشتری هستند که به‌شدت بر روی میزان افت وزنی ناشی از یخزدگی-آب شدگی سنگدانهای اثرگذار است. در محیط‌های رودخانهای به علت فرایند طولانی حمل و نقل و سایش، میزان ریزتر در آن‌ها بسیار کم است که تأثیر بسیار

- ACI 201.2R-08., 2008. Guide to durable concrete.
- ACI 221R-96., 2001. Guide for use of normal weight and heavy weight aggregates in concrete.
- Alexander, M. and Mindess, S., 2005. Aggregate in Concrete. Taylor and Francis, 435.
- Bahrami, S., 2013. Tectonic controls on the morphometry of alluvial fans around Danehk-hoshk anticline, Zagros, Iran. *Geomorphology*, 180-181, 217-230.
- Janssen, D.J. and Snyder, M.B., 1994. Resistance of Concrete to Freezing and Thawing. Report SHRP-C-391. Strategic Highway Research Program, Washington, DC, 201.
- Kang, Y.S., Liu, Q.S. and Huang S.B., 2013. A fully coupled thermo-hydro-mechanical model for rock mass under freezing/thawing condition. *Cold Regions Science and Technology*, 95, 19-26.
- Kang, Y.S., Liu, Q.S., Liu, X. and Huang, S.B., 2014. Theoretical and numerical studies of crack initiation and propagation in rock masses under freezing pressure and far-field stress. *Journal of Rock Mechanics and Geotechnical Engineering*, 6, 466-476.
- Karimi, H., Raeisi, E. and Bakalowicz, M., 2005. Characterising the main karst aquifers of the Alvand basin, Northwest of Zagros, Iran, by a hydrogeochemical approach. *Hydrogeology Journal*, 13, 787-799.
- Litvan, G.G., 1973. Pore structure and frost susceptibility of building materials, Research Paper No. 584, Division of Building Research, National Research Council of Canada, Ottawa, 17-30.
- Mac Innis, C and Lau, E.C., 1971. Maximum aggregate size effect on frost resistance of concrete, *Journal of American Concrete Institute*, 68, 16, 144-149.
- Matsuoka, N., 1990. Mechanisms of rock breakdown by frost action: an experimental approach. *Cold Regions Science and Technology*, 17, 253-270.
- Mindess, S., Young, J.F. and Darwin, D., 2003. Concrete. New Jersey: Pearson Prentice Hall, 644.
- Montoto, M., Rodríguez-Rey, A., Meneández, B., Martínez-Nistal, A., Ruiz de Argandoña, V.G., Suárez del Río, L.M. and Calleja L., 1994. Microfractography of El Berrocal granite. In: Maravic, H., Smellie, J. (Eds.). Proceedings of an international workshop Nuclear Science and Technology, 353-358.
- Neville, A.M. and Brooks, J.J., 2010. Concrete Technology. Prentice Hall, 456.
- Park, J., Hyun, C.U. and Park, H.D., 2015. Changes in microstructure and physical properties of rocks caused by artificial freeze-thaw action. *Bulletin of Engineering Geology and the Environment*, 74, 555-565.
- Ruedrich, J., Kirchner, D., and Siegesmund, S., 2011. Physical weathering of building stones induced by freeze-thaw action: a laboratory long-term study. *Environmental Earth Sciences*, 63, 1573-1586.
- Schedl, A., Kronenberg A.K. and Tullis J., 1986. Deformation microstructures of Barre granite, an optical SEM and TEM study, *Tectonophysics* 122, 149-164.
- Seto, M., 2010. Freeze-thaw cycles on rock surfaces below the timberline in a montane zone: field measurements in Kobugahara, Northern Ashio Mountains, Central Japan. *Catena*, 82 (3), 218-26.
- Smith, M.R. and Collis, L., 2001. Aggregates: Sand, gravel and crushed rock aggregates for construction purposes (third edition). The Geo-

- logical Society London, 339.
- TEX-432-A., 2014. Test procedure for coarse aggregate freeze-thaw test. Texas Department of Transportation.
  - Wang, P., Xu, J., Liu, S., Liu, S. and Wang, H., 2016. A prediction model for the dynamic mechanical degradation of sedimentary rock after a long-term freeze-thaw weathering: Considering the strain-rate effect, *Cold Regions Science and Technology*, 131, 16-23.
  - Washburn, A.L., 1979. *Geocryology: A Survey of Periglacial Processes and Environ-*ments. Edward Arnold, London, 406.
  - Yang, Z.J. and Chen, J.F., 2004. Fully automatic modelling of cohesive discrete crack propagation in concrete beams using local arc-length methods. *International Journal of Solids and Structures*, 41, 3-4, 801-26.
  - Yavuz, H., Altindag, R., Sarac, S., Ugur, I. and Sengun, N., 2006. Estimating the index properties of deteriorated carbonate rocks due to freeze-thaw and thermal shock weathering, *International Journal of Rock Mechanics and Mining Sciences*, 43, 767-775.